

ساخت سامانه انتقال ژن بیان کننده‌ی هم‌زمان ژن‌های eGFP و HIF-1 α در سلول‌های بنیادی مزانشیمی با وکتورهای لنتی‌ویروسی

وحید رزبان^۱، سحر خواجه^۲، عباس صاحبقدم لطفی^{۳*}، مسعود سلیمانی^۴، حسین احمدی^۵، محمد معصومی^۶

۱- استادیار ژنتیک مولکولی، دانشگاه علوم پزشکی کرمان، کرمان، ایران - پژوهشگاه ملی مهندسی ژنتیک و زیست فناوری، تهران، ایران

۲- کارشناسی ارشد بیوشیمی بالینی، دانشگاه تربیت مدرس، تهران، ایران

۳- استاد بیوشیمی، پژوهشگاه ملی مهندسی ژنتیک و زیست فناوری، تهران، ایران

۴- دانشیار هماتولوژی، دانشگاه تربیت مدرس، تهران، ایران

۵- استاد جراحی قلب و توراکس، مرکز قلب دانشگاه تهران، تهران، ایران

۶- استادیار ژنتیک پژوهشگاه ملی مهندسی ژنتیک و زیست فناوری، تهران، ایران

*تهران، کد پستی 1497716316

lotfi-ab@nigeb.ac.ir

(دریافت مقاله: ۹۱/۱/۷، پذیرش: ۹۱/۶/۴)

چکیده - برای درمان بیماری‌های ایسکمیک، سلول درمانی به عنوان روشی جدید و مؤثر مطرح

است. سلول‌های بنیادی مزانشیمی به دلایل مختلف مانند امکان جداسازی و تکثیر آسان بدون از دست دادن توانایی تمایزی و تنظیم سامانه ایمنی جایگاه ویژه‌ای دارند. سلول‌های بنیادی پس از تزریق در بافت‌های ایسکمیک با شرایط سخت کمبود اکسیژن رو به رو می‌شوند که با مرگ بیشتر سلول‌ها همراه است. به همین دلیل کارایی سلول درمانی بسیار کاهش می‌یابد. همچنین سرنوشت این سلول‌ها از نظر زنده ماندن و تمایز مورد بحث است. در مطالعات متعددی تأثیر مفید پیش‌آماده‌سازی سلول‌ها با هیپوکسی برای سلول درمانی بافت‌های ایسکمیک گزارش شده است و تنظیم کننده‌ی اصلی در این فرایند، فاکتور رونویسی HIF-1 α است.

در این پژوهش، ژن HIF-1 α با استفاده از لنتی‌ویروس‌ها به سلول‌های بنیادی مزانشیمی منتقل می‌شود تا با افزایش بیان آن، شرایط پیش‌آماده‌سازی با هیپوکسی، شبیه‌سازی شود. از طرفی پروتئین eGFP نیز به صورت Bisictronic HIF-1 α همراه بیان می‌شود. به این ترتیب هم می‌توان اثر شبیه‌سازی پیش‌آماده‌سازی هیپوکسی روی سلول‌های بنیادی مزانشیمی را بررسی کرد و هم پیکری و بررسی سرنوشت سلول‌های تزریق شده در مدل‌های حیوانی با استفاده از مارکر GFP، انجام می‌شود.

کلیدواژه‌گان: سلول‌های بنیادی مزانشیمی، eGFP، HIF-1 α ، انتقال ژن، لنتی‌ویروس‌ها.

۱- مقدمه

پیش‌آمده‌سازی با هیپوکسی یا ایسکمی (IP) ² یکی از قدرتمندترین محرك‌های محافظ سلول است [13, 12]. مؤثر بودن آن بستگی به فعالیت رونویسی HIF-1 α دارد [14]. در این مطالعه، ژن HIF-1 α , برای شبیه‌سازی eGFP پیش‌آمده‌سازی سلول‌ها با هیپوکسی، همراه ژن eGFP وکتورهای لقی ویروسی به سلول‌های بنیادی مزانشیمی منتقل از مغز استخوان انسان متقل شد تا سلول‌های بنیادی مزانشیمی به دست آید که هم در آن‌ها شرایط هیپوکسی شبیه‌سازی شده باشد و هم با بیان ژن گزارشگر GFP، امکان پیگیری آن‌ها پس از تزریق در مطالعات آینده فراهم شود.

۲- مواد و روش‌ها

۲-۱ تأیید مزانشیمی بودن MSCs

بر اساس توافقنامه بین‌المللی برای استفاده از سلول‌های بنیادی مزانشیمی در سلول درمانی، این سلول‌ها نباید مارکرهای CD31 و CD34 را داشته باشند ولی باید مارکرهای CD73 و CD105 را بیان کنند. این سلول‌ها همچنین تعداد زیادی مولکول‌های چسبندگی، پروتئین‌های ماتریکس خارج سلولی و گیرنده‌های فاکتورهای رشد دارند [17-15].

در شرایط مناسب، MSCs می‌تواند به سلول‌های ادیپوسیت، استئوبلاست و کندروبلاست تمایز پیدا کند [16-18].

برای تعیین مارکرهای سطحی با روش فلوسايتومتری، آنتی‌بادی‌های مونوکلونال نشان‌دار شده با FITC³، علیه CD34، CD105، CD73، CD73 و آنتی‌بادی نشان‌دار شده با PE، علیه CD31 استفاده شد.

برای تمایز به استئوبلاست، این سلول‌ها ۱۴ روز در محیط کشت DMEM با گلوكز بالا (4/5 گرم در لیتر) حاوی ۱۰

در سال‌های نزدیک، سلول درمانی به عنوان روشی نوین برای درمان بسیاری از بیماری‌ها مطرح شده است. هدف اصلی سلول درمانی، احیا کردن ارگان‌های آسیب‌دیده با استفاده از سلول‌های بنیادی است. از میان سلول‌های مختلف، سلول‌های بنیادی مزانشیمی¹ مورد توجه ویژه قرار گرفته است که تا حدی به خاطر توانایی تمایز آن‌ها به رده‌های سلولی مختلف [2] و نیز ایجاد نشدن پاسخ ایمنی پس از تزریق سلولی است [5-3]. سلول‌های بنیادی مزانشیمی منشأ استرومای داشته و تا کنون از بافت‌هایی مانند جفت، خون و بند ناف، مغز استخوان، بافت‌های چربی و ریه جداسازی شده است [6].

سرنوشت سلول‌های بنیادی مزانشیمی پس از تزریق به بافت‌های ایسکمیک، چه از نظر زنده ماندن و چه از نظر تمایز، از موضوعات جالب و همچنان سوال برانگیز است. نشان‌دار شدن این سلول‌ها با ژن گزارشگر GFP، به پیگیری سرنوشت آن‌ها کمک می‌کند و این امکان را به وجود می‌آورد که توانایی این سلول‌ها در رسیدن به بافت هدف ارزیابی شود.

تقریباً در همه موارد، سلول‌های تزریق شده می‌میرند که می‌تواند به میزان زیادی توانایی درمانی سلول‌ها را کاهش دهد. همچنین درک ساز و کارهایی که باعث زنده ماندن ضعیف سلول‌های تزریق شده در شرایط استرس می‌شود می‌تواند سبب یافتن راه کارهای درمانی بهتر شود [7]. مطالعات متعددی نشان داده است که سلول‌های بیان‌کننده‌ی ژن‌های مربوط به بقا [10-8] یا فاکتورهای آنژیوژنیک [11] توانایی زنده ماندن بیشتری پس از تزریق نشان می‌دهند.

2. Hypoxic or Ischemic preconditioning
3. Fluorescent isothiocyanate

1. Mesenchymal Stem Cells (MSCs)

2-2 همسان‌سازی ژن HIF-1 α در وکتور

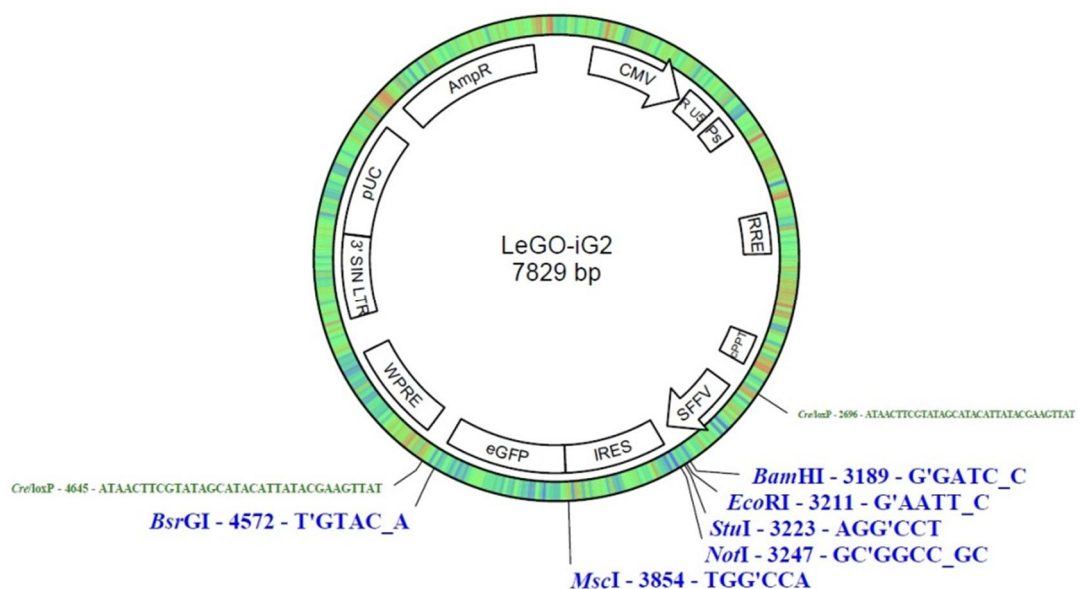
انتقال دهنده لتی ویروسی

cDNA ژن HIF-1 α در شرکت Shine Gene ساخته و در وکتور PUC57 ارسال شد. شماره دسترسی Gene Bank (Accession Number) این ژن در NM_001530.1 است.

در این مطالعه، سامانه لتی ویروسی استفاده شد که شامل وکتورهای psPAX2، pMD2.G و iG2 بود. وکتور Internal Ribosome Entry Site (IRES) از ویروس انسفالومایوکاردیتیس دارد که امکان بیان ژن کلون شده را به طور جداگانه از eGFP می‌دهد. همچنین ژن هدف تحت کترل پروموتور رتروویروسی spleen focus-forming virus (SFFV) گستردگی از سلول‌ها، بیان بالا دارد (شکل 1).

در صد FBS و القاگرهای تمايزی [10 میکرومولار دگراماترون، 50 میکروگرم بر میلی لیتر اسید آسکوربیک و 10 میکرومولار بتاگلیسروفسفات] قرار داده شدند. در این مدت سلول‌ها در 37 درجه سانتی‌گراد و 5 درصد CO2 نگهداری شدند و تعویض محیط هر 3 روز یکبار انجام شد. پس از 14 روز، سلول‌ها با روش Alizarin O red رنگ‌آمیزی و با میکروسکوپ فاز کتراس است مشاهده شدند.

برای تمايز ادیپوزنیک، سلول‌ها در معرض محیط القابی ادیپوزنیک قرار گرفتند. محیط القاکنده ادیپوزنیک حاوی 1 درصد FBS، 1 میکرومولار دگراماترون، 200 میکرومولار اندوماتاسین، 1/7 میکرومولار انسولین و 500 میکرومولار ایزوپوتانل متیل زاتین بود. پس از 14 روز با رنگ‌آمیزی اختصاصی Oil red staining تمايز آن‌ها به ادیپوسایت ارزیابی شد.



شکل 1 نقشه وکتور ترانسفر iG2

بакتری‌های دارای $DH5\alpha$ با وکتورهای لتی‌ویروسی ترانسفورم شدند. برای ترانسفورماسیون از روش شیمیایی کلسمیکلراید و شوک حرارتی استفاده شد.

HIF-1 α -**2-3 تولید لتی‌ویروس نوترکیب دارای HIF-1 α**
تولید لتی‌ویروس با ترانسفکشن همزمان وکتورهای plox-PAX₂ و plox-MD₂ کلون شده‌ی HIF-1 α در رده سلولی HEK-293.T و با روش کلسمیکلراید و شوک حرارتی انجام شد.

پس از گذشت 48 ساعت از ترانسفکشن، سلول‌های HEK-293.T زیر میکروسکوپ فلورسانس مشاهده شد تا از انجام ترانسفکشن، بیان پروتئین‌های ویروسی و پروتئین گزارشگر GFP اطمینان حاصل شود. سپس محیط رویی سلول‌ها برداشته و 5 دقیقه در 4000 rpm سانتریفوژ شد که سلول‌ها یا باقیمانده‌های سلولی رسوب داده شوند. محلول دارای ویروس با فیلتر با cut off برابر MWCO 100000 شرکت Millipore تغییض شد.

برای تیتراسیون، تعداد $10^5 \times 1$ سلول T HEK-293.T در هر چاهک یک پلیت 6 خانه کشت داده شد. به دو چاهک از پلیت 6 خانه به ترتیب 50 μl و 25 μl از ویروس رقيق‌نشده استوک و به سه چاهک به ترتیب 100 μl، 50 μl و 25 μl از استوک ویروسی که به نسبت 1 : 50 رقيق شده است اضافه شد. به آخرین چاهک که به عنوان کنترل در نظر گرفته شده بود، هیچ ویروسی اضافه نشد. پس از 72 ساعت، بیان پروتئین گزارشگر در سلول‌ها با میکروسکوپ فلورسانس بررسی شد؛ سپس سلول‌ها تریپسینه شده و درصد سلول‌های GFP مثبت با دستگاه فلوسیتومتری به دست آمد.

تیتر ویروس براساس واحد (Transducing unit)
طبق فرمول زیر محاسبه شد:

برای استخراج cDNA از ژل آکارز، ابتدا digest با آنزیم برشی *Bam*H1 همراه آنزیم *Dra*I که تنها PUC-57 را برش می‌زند ولی تأثیری روی cDNA ندارد، انجام شد. سپس الکتروفورز انجام شد. باند 2/5 kb از ژل بریده شد و استخراج cDNA با استفاده از kit High pure plasmid isolation شرکت Roche انجام شد. پس از استخراج، cDNA و وکتور لتی‌ویروسی iG2 با آنزیم *Bam*H1 هضم شدند و واکنش لیگاسیون¹ یا الحق که شامل آنزیم لیگاز T4 (شرکت Fermentas)، بافر و rATP بود در 16 °C و در شب انجام شد.

از آنجا که وکتور iG2 ژن مقاومت به آمپیسیلین دارد، بакتری‌های $DH5\alpha$ که با محصول واکنش الحق، ترانسفورم شده بودند، روی پلیت LB-Agar 50 حاوی 50 میکروگرم در هر میلی‌لیتر آمپیسیلین، کشت داده شدند. تعداد 10 تک‌کلونی به دست آمده از الحق برای استخراج پلاسمید و هضم با آنزیم *Bam*H1 انتخاب شد. خارج شدن قطعه 2/5 کیلوبازی نشان‌دهنده‌ی موفقیت واکنش self ligation است و تک‌باند نشان می‌دهد که اتفاق افتاده است.

برای بررسی درست‌بودن کلون شدن cDNA در وکتور iG2 از آنزیم *NCO*1 برای تهیه Restriction map استفاده شد. در صورتی که قطعه در راستای درست کلون شده باشد، تعداد 3 باند با اندازه 3166bp، 2580bp و 4581bp مشاهده می‌شود و اگر در راستای عکس کلون شده باشد، تعداد 2 باند با اندازه‌های 4581bp و 5749bp ایجاد می‌شود.

در نهایت، قطعه کلون شده در وکتور ترانسفکشن لتی‌ویروسی برای توالی‌یابی ارسال شد. برای تکثیر،

1. Ligation

پلیبرن، چسبندگی ویروس‌ها را به سطح سلول‌ها زا
بالا می‌برد.

$$\frac{1 \times 10^5 \text{ cell} \times \% \text{ GFP positive cells} \times 1000}{\mu\text{l of vector}}$$

۴-۲-۴- تعیین MOI و انتقال ژن HIF-1 α به سلول‌های بنیادی مزانشیمی

انتقال ژن HIF-1 α با ترانسداکت کردن سلول‌های بنیادی مزانشیمی با ذرات لنتی ویروسی دارای این ژن انجام شد. با توجه به تیتر به دست آمده ویروس در مرحله قبل، غلظت‌های مختلف ویروس [که دارای تعداد ذرات مختلف ویروس است] به سلول‌ها اضافه شد تا بهترین (multiplicity of infection) MOI یا غلظتی از ذرات ویروس که بالاترین درصد ترانسفکشن را دارد و روی رشد و حیات سلول‌ها تأثیر منفی ندارد، تعیین شود. پس MOI‌های ۵، ۱۰، ۱۵، ۲۰، ۲۵، ۳۰، ۳۵، ۴۰، ۴۵ و ۵۰ بررسی شد. همچنین برای افزایش کارایی ترانسداکشن از ترکیب کاتیونی پلیبرن

۵- واکنش RT-PCR

در این مطالعه، توالی ژن HIF-1 α و ژن GAPDH، به عنوان کنترل داخلی، از Gene Bank استخراج شد. پرایمروها (جدول ۱) با نرم‌افزار ۵ oligo طراحی شده و پس از BLAST کردن پرایمروها، واکنش PCR (جدول ۲) با آن‌ها انجام شد.

برای استخراج total RNA از سلول‌ها، از RNeasy plus micro kit شرکت Qiagen استفاده شد. ساخت power cDNA synthesis kit با cDNA Maxime PCR PreMix kit PCR Intron و واکنش PCR شرکت Intron انجام شد.

جدول ۱ مشخصات پرایمروها

ژن	اندازه قطعه (bp)	توالی پرایمر
GAPDH	141	F: 5'- agaaggctgggtcattgc -3' R: 5'- tgcaggaggcattgtatg -3'
HIF-1 α	177	F: 5'- ctttgtggatgtggtgatttgg -3' R: 5'- gtgtccagtttagttcaaactgag -3'

جدول ۲ شرایط واکنش PCR

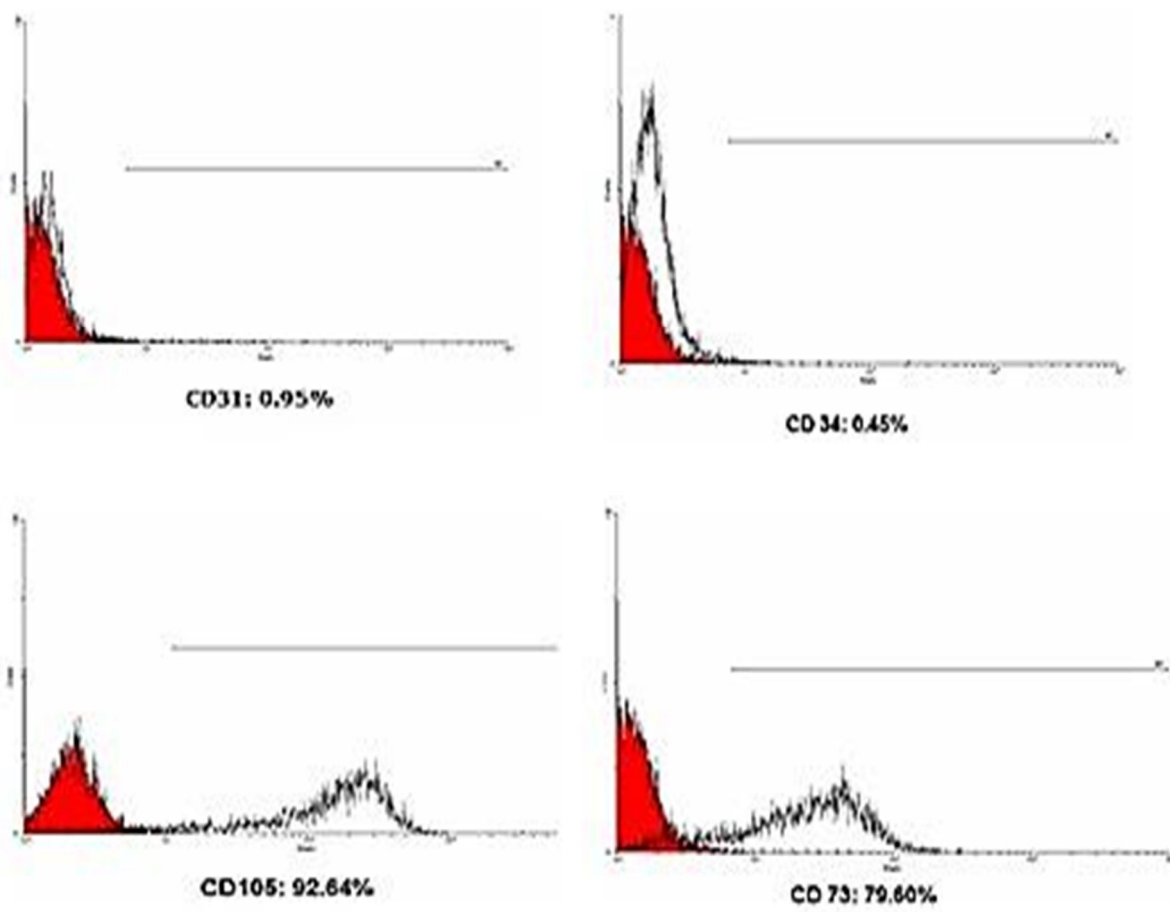
دما و زمان واسرشت اولیه	30 چرخه				دما و زمان طویل شدن نهایی	ژن
	دما و زمان واسرشت	دما و زمان واسرشت	دما و زمان اتصال	دما و زمان طویل شدن		
۹۴ °C، ۵ دقیقه	۹۴ °C، ۳۰ ثانیه	۶۰ °C، ۴۵ ثانیه	۷۲ °C، ۴۵ ثانیه	۷۲ °C، ۷ دقیقه	۷۲ °C، ۷ دقیقه	GAPDH
۹۴ °C، ۵ دقیقه	۹۴ °C، ۳۰ ثانیه	۶۱ °C، ۴۵ ثانیه	۷۲ °C، ۴۵ ثانیه	۷۲ °C، ۷ دقیقه	۷۲ °C، ۷ دقیقه	HIF-1 α (چرخه ۲۵)

CD73 و CD105، به ترتیب ۷۹/۶۰ و ۹۲/۶۴ درصد بود؛ در حالی که مارکرهای ویژه سلول‌های هماتوپوئیتیک، CD31 و CD34، بیان چشم‌گیری نداشتند (شکل ۲). این نتایج نشان‌دهنده‌ی کیفیت استفاده شده در این مطالعه و آلووده‌شدن آن‌ها به سلول‌های هماتوپوئیتیک بود.

۳- یافته‌ها

۳-۱- بیان شاخص‌های سلول‌های بنیادی مزانشیمی

نتایج ایمونوفوتایپینگ سلول‌های بنیادی مزانشیمی مغز استخوان به روش فلوسیتومتری نشان داد که درصد بیان مارکرهای اختصاصی سلول‌های MSC شامل



شکل ۲ ایمونوفوتایپینگ سلول‌های مزانشیمی مغز استخوان انسان به روش فلوسیتومتری

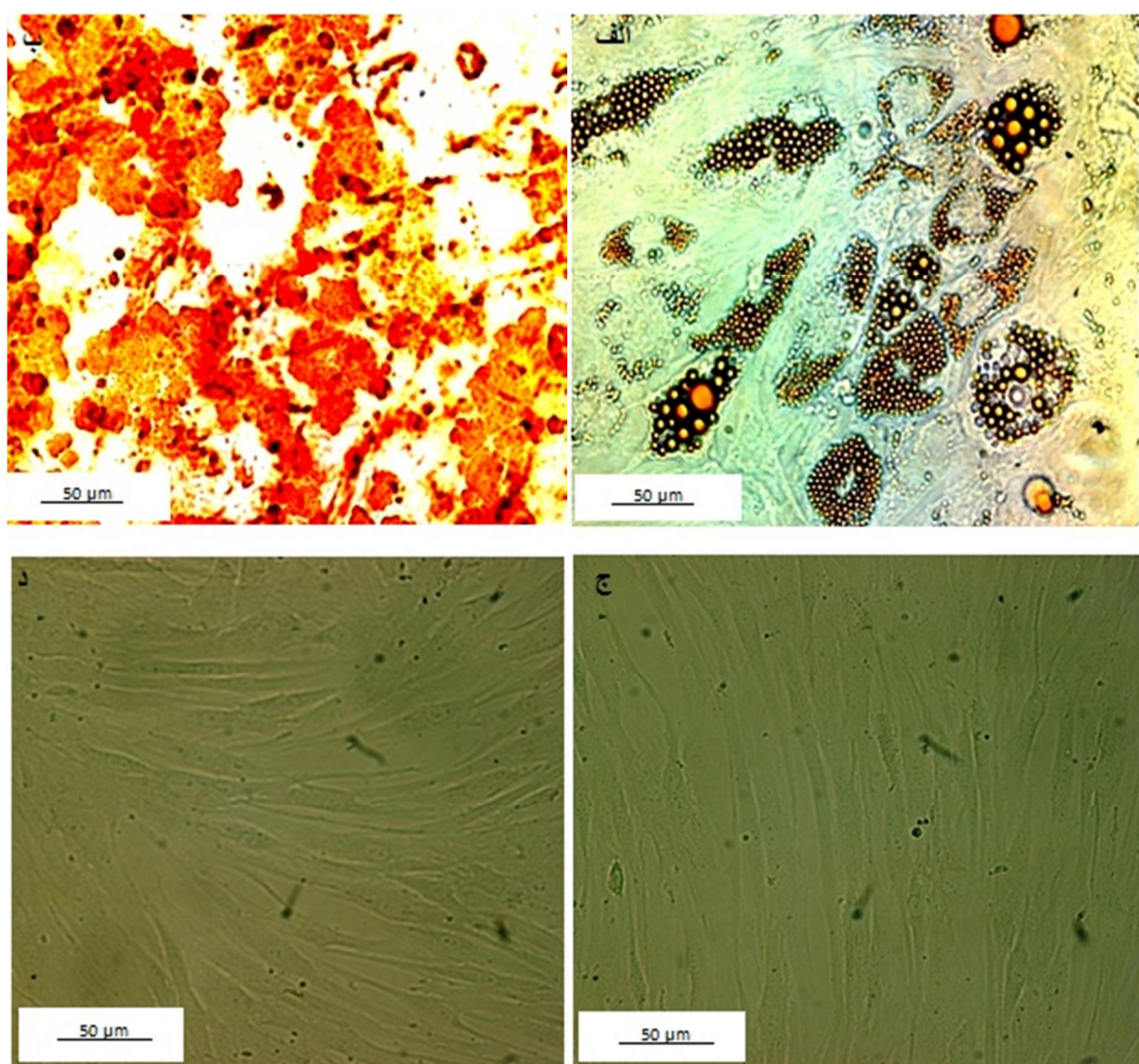
در سلول‌های تمایز داده شده به اوستئوبلاست نشان داد که از ویژگی‌های سلول‌های استخوانی است. همچنین پس از رنگ‌آمیزی Oil red، تجمع نارنجی رنگ قطرات چربی در سلول‌هایی که در معرض محیط تمایزی ادیپوسایت بودند، مشاهده شد که نشان دهنده‌ی تمایز به سمت سلول‌های چربی بود (شکل 3).

2-3- ارزیابی توانایی تمایز سلول‌های بنیادی

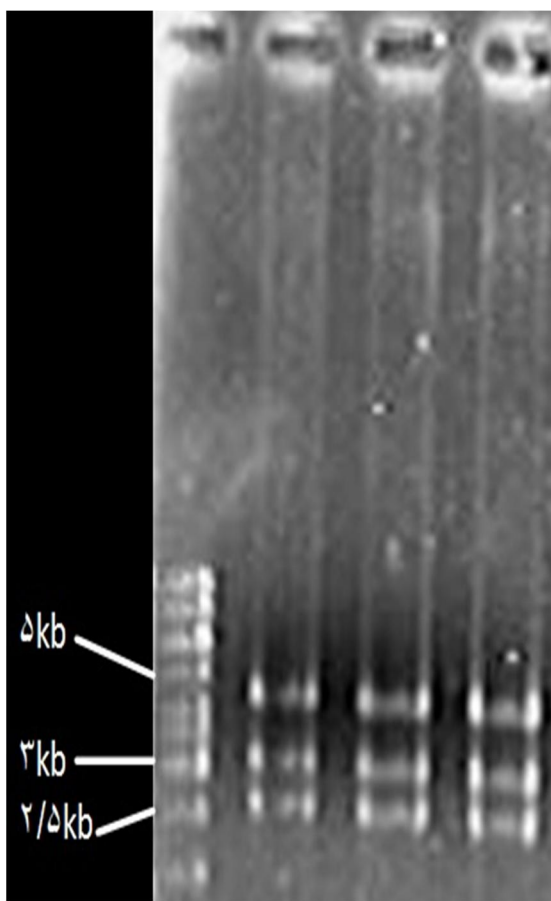
مزانشیمی به استئوبلاست و ادیپوسایت

افرون بر ایمونوفوتاپینگ مارکرهای سطحی، پتانسیل تمایز MSCs استفاده شده در این مطالعه برای تأیید بیشتر بررسی شد.

رنگ‌آمیزی اختصاصی Alizarin red، تجمع کلسیم را



شکل 3 الف- تمایز سلول‌های بنیادی مزانشیمی به رده سلول‌های چربی، ب- استخوانی، ج و د- سلول‌ها بدون القای تمایز



شکل ۵ نتایج هضم با *NCO1* نشان‌دهنده قطعاتی در حدود ۴/۵، ۳ و ۲/۵ کیلو باز است.

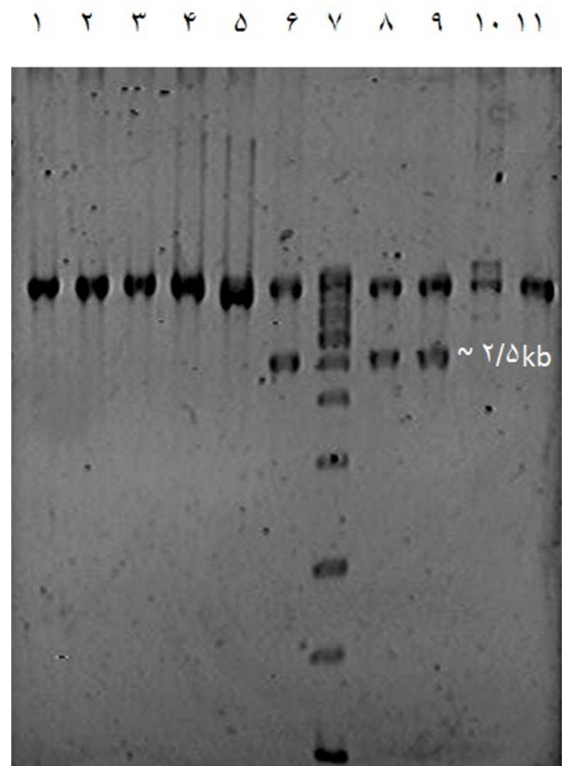
در نهایت، نتایج توالی‌یابی، توالی درست قطعه کلون‌شده را تأیید کرد.

3-4- تولید ذرات لنتی ویروسی نوترکیب

نتایج ترانسفکشن سلول‌های HEK-293.T زیر میکروسکپ فلورسنت بعد از ۴۸ ساعت نشان‌دهنده ترانسفکت شدن بیش از ۹۰ درصد سلول‌ها بود (شکل ۶).

3-3 همسان‌سازی ژن HIF-1 α

نتیجه هضم ۱۰ کلونی به دست‌آمده از الحاق با آنزیم *BamH1* نشان داد که کلونی‌های ۶، ۷ و ۸ قطعه مورد نظر را داشتند (شکل ۴).



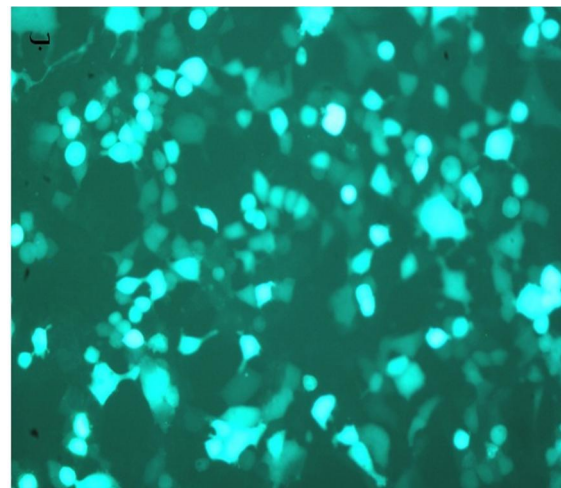
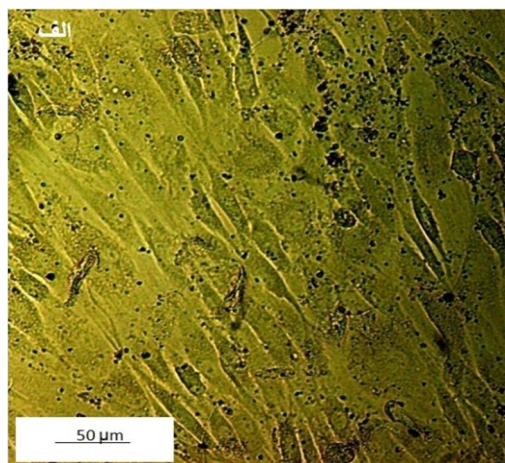
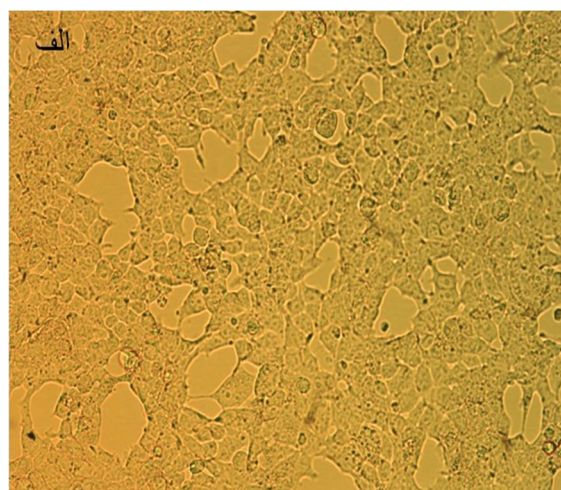
شکل ۴ نتایج هضم محصولات لیگاسیون با آنزیم *BamH1* رديف‌های ۱-۶ و ۸-۱۱ به ترتیب کلون‌های ۱ تا ۱۰ و رديف ۷، اندازه‌ی مارکر

هضم کلون‌های دارای قطعه‌ی ۲/۵ کیلو بازی با آنزیم *NCO1* نشان داد که قطعات در راستای درست کلون شده است (شکل ۵).

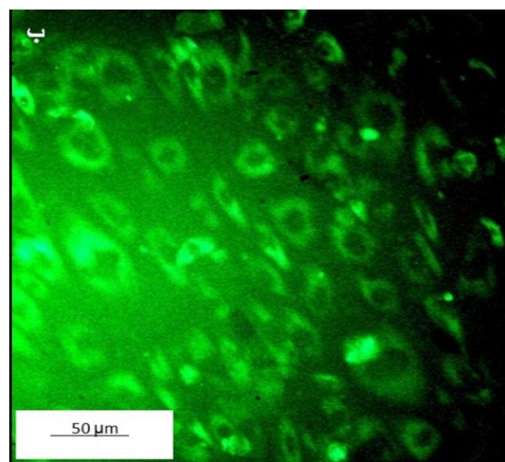
ترتیب 16 و 19 درصد سلول‌های مثبت برای بیان GFP داشتند و تعداد ذرات در یک میلی‌لیتر آن‌ها به ترتیب $10^7 \times 5$ و $9/4 \times 10^7$ به‌دست آمد.

3-5- انتقال ژن به سلول‌های بنیادی مزانشیمی و تعیین بهترین MOI

بهترین MOI برای آزمایش‌ها 35 تعیین شد و با توجه با بیان GFP، میزان موفقیت در ترانسداکشن بیش از 80 درصد بود (شکل 7).



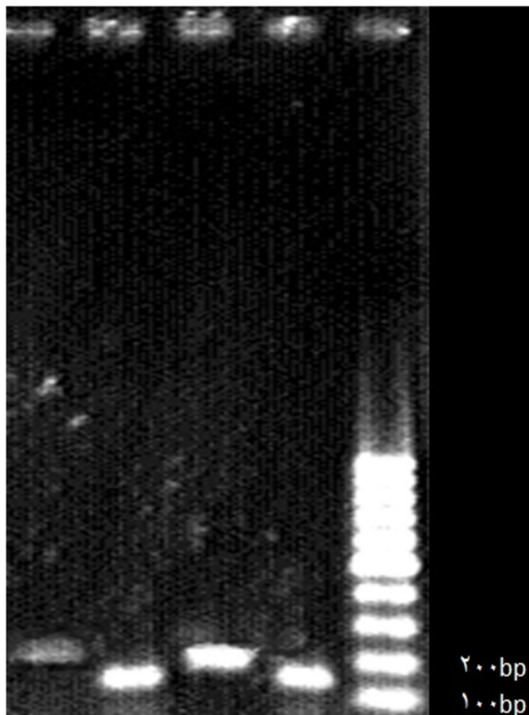
شکل 6 نتایج ترانسفکشن سلول‌های HEK-293.T. الف- تصویر با نور مرئی ب- تصویر با نور فلورسانست



شکل 7 نتایج ترانسداکشن سلول‌های بنیادی مزانشیمی، الف- نور مرئی ب-نور فلورسانست

نتایج فلوسایتومتری برای غلظت‌های مختلف ویروس نشان داد در نمونه کنترل که به سلول‌های HEK-293.T ویروس 25 اضافه نشده بودند، بیان GFP صفر است. چاهک‌هایی که 50 و 100 میکرولیتر ویروس رقیق شده به آن اضافه شده بود، به ترتیب 5/5 و 6/8 درصد سلول‌های مثبت برای بیان GFP داشتند و تعداد ذرات در یک میلی‌لیتر آن‌ها به ترتیب $10^7 \times 10^7 \times 3/3 \times 10^7$ و $4/1 \times 10^7 \times 2/9$ به‌دست آمد. چاهک‌هایی که 50 میکرولیتر ویروس رقیق نشده به آن اضافه شده بود، به

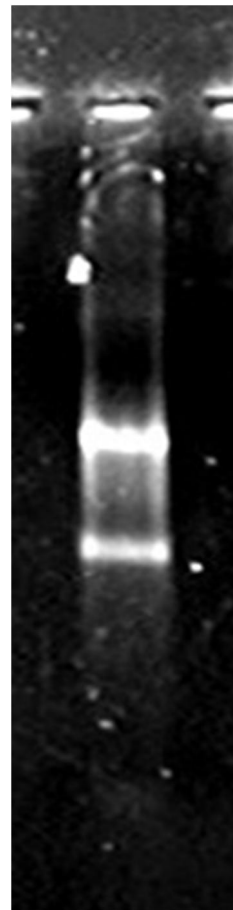
۵ ۴ ۳ ۲ ۱



شکل ۹ نتایج RT-PCR برای HIF-1 α . ستون ۱، اندازه مارکر، ستون ۱ و ۳، باند GAPDH، ستون ۲ و ۴، باند HIF-1 α ، به ترتیب در سلول‌های مزانشیمی و سلول‌های دارای HIF-1 α

۶-۳- بررسی افزایش بیان ژن HIF-1 α

با الکتروفورز RNA استخراج شده، باندهای مربوط به RNA‌های ریبوزومی 18S و 28S به صورت دو باند مجزا و mRNA به صورت اسمیر مشاهده شد که نشان‌دهنده‌ی کیفیت RNA استخراج شده بود (شکل ۸).



شکل ۸ نتایج به دست آمده از استخراج total RNA از سلول‌های MSC

از آنجا که MSCs به آسانی در محیط کشت تکثیر می‌شود و به چندین رده سلولی تمایز می‌یابد، برای کاربرد در ترمیم بافت و ژن درمانی بسیار مورد توجه قرار گرفته است [۱۹]. در حقیقت، کارکرد اصلی این سلول‌ها ایجاد منع جایگزین برای بافت‌های آسیب‌دیده است. مطالعات در سیستم زنده نشان می‌دهد که سلول‌های MSC تکثیر شده در محیط آزمایشگاه، توانایی تمایزی خود را بعد از پیوند حفظ می‌کنند [۲۰]. از مزایای دیگر MSCs، امکان استفاده از سلول‌های خودی است که احتمال رد پیوند به وسیله سیستم ایمنی را به

نتایج به دست آمده از واکنش RT-PCR برای HIF-1 α نشان داد این ژن در سلول‌های آلووده شده با ویروس‌های نوترکیب، بیان بیشتری دارد (شکل ۹)

در صد بالای ترانسداکشن بستگی زیادی به ویروس‌های تولید شده دارد. نتایج نشان داد که بیش از ۹۰ درصد سلول‌های HEK-293.T با روش کلسیم-فسفات ترانسفکت شدند که نشان‌دهنده‌ی کارایی بالای تولید ذرات ویروسی با این روش است. ۸۰ تا ۹۰ درصد سلول‌های بنیادی مزانشیمی با لتی ویروس‌های تولید شده ترانسداکت شدند. همچنین نتایج RT-PCR برای ژن HIF-1 α . افزایش بیان آن را تأیید کرد. از طرفی با توجه به ساختار وکتور ترانسفر iG2 (شکل ۱) مشخص است که ژن هدف درست بعد از پروموتور کلون شده و پس از آن، ژن eGFP قرار دارد؛ بنابراین بیان این دو ژن به صورت bisistronic انجام می‌شود. به خاطر این که انتظار می‌رود ژنی که پشت IRES قرار گرفته با کارایی کمتری نسبت به ژنی که در جلوی IRES قرار گرفته ترجمه شود، این نوع طراحی، بیان بالای ژن کلون شده در این ساختار را در مقایسه با GFP تضمین می‌کند [26]. به این صورت، میزان بیان ژن هدف کمی بیشتر از میزان بیان تخمین‌زده شده برای GFP خواهد بود. این نتایج اطمینان می‌دهد که ذرات لتی ویروسی دارای ژن کلون شده HIF-1 α با کارایی بالا تولید شده و افزایش بیان این ژن در سلول‌های هدف انجام پذیر است.

همان‌گونه که گفته شد، حضور ژن eGFP پس از ژن HIF-1 α در وکتور ترانسفر لتی ویروسی، امکان تخمین میزان موفقیت در ترانسداکشن را به وجود می‌آورد. به این ترتیب به طور غیرمستقیم، می‌توان از موفقیت انتقال و بیان HIF-1 α اطلاع پیدا کرد که این یکی دیگر از مزایای آماده‌سازی سلول‌های بنیادی مزانشیمی با شیوه‌ای است که در این مقاله گفته شد. همچنین بیان این ژن در سلول‌های بنیادی مزانشیمی، این امکان را فراهم می‌کند تا پس از تزریق سلول‌ها در مدل‌های حیوانی بتوان سلول‌ها

شدت کاهش می‌دهد. همچنین به دلیل این‌که امکان جداسازی این سلول‌ها از مغز استخوان خود بیمار و کشت آن به راحتی وجود دارد که سبب صرفه‌جویی در وقت و تسريع درمان می‌شود، استفاده از سلول‌های MSC توصیه می‌شود [6, 16, 21, 22].

از طرفی آزمایش‌های انجام‌شده نشان می‌دهد که MSCs از تکثیر سلول‌های T جلوگیری کرده و با اثر مستقیم سلول-سلول و ترشح نوعی فاکتور محلول ناشناخته، از بلوغ آن‌ها جلوگیری می‌کند. بنابراین به نظر می‌رسد آلوژنیک (غیرخودی) نیز تا حدی از نظر ایمنی مصون بوده و می‌تواند به عنوان منبع فوری و در دسترس برای درمان به کار رود؛ اگر چه خطر انتقال بیماری نیز وجود دارد [23].

سلول‌های بنیادی مزانشیمی انسان، CD105 و CD73 را بیان می‌کنند [24]. برای این سلول‌ها، مارکر اختصاصی شناخته نشده است؛ بنابراین با اثبات تمایز به سلول‌های استئوپلاست و ادیپوسایت می‌توان اطمینان داشت که سلول‌ها، بنیادی مزانشیمی است [25]. تمایز به سلول‌های استئوپلاست و ادیپوسایت نشان‌دهنده‌ی توانایی تمایزی سلول‌های بنیادی مزانشیمی در این مطالعه بود.

نتایج فلوسایتومتری در این مطالعه برای مارکرهای سطحی مزانشیمی (CD73 و CD105) و همچنین آزمایش‌های هیستوشیمی برای تمایز به استئوپلاست و ادیپوسایت نشان داد که سلول‌های بنیادی مزانشیمی استفاده شده در این پژوهش، تمایزیافته بوده و با انجام القای مناسب می‌تواند به انواع سلولی مختلفی تمایز پیدا کنند. بیان نشدن مارکرهای CD31 و CD34 نیز مشخص کرد که سلول‌های بنیادی مزانشیمی، به سلول‌های هماتوپویتیک آلوده نشده و یک جمعیت خالص است.

اصلی دخیل در فراخوانی سلول‌ها به بافت‌های آسیب‌دیده، مانند محور SDF-1/CXCR4 و یا محور HGF-c-MET، شناسایی و مشخص شده که به وسیله‌ی HIF-1 α القا می‌شوند [30-32]. از طرفی مسئله‌ی مشارکت سلول‌های بنیادی در بازیابی بافت آسیب‌دیده به صورت مستقیم و از طریق تمایز سلول‌های بنیادی، مبهم است و گزارش‌های متفاوت و متناقضی در این رابطه وجود دارد [33-35]. پاسخ به این سؤالات، نیازمند نشان‌دارکردن و پیگیری سلول‌های بنیادی تزریق شده است. در این مطالعه، نشان‌دار کردن سلول‌های بنیادی مزانشیمی با بیان پروتئین GFP با کمک لنتی‌ویروس‌های نوترکیب با موفقیت انجام شد.

به طور کلی در این پژوهش، ژن HIF-1 α با موفقیت کلون و به سلول‌های بنیادی مزانشیمی ترانسداکت شد. HIF-1 α و GFP در سلول‌های بنیادی مزانشیمی شد. به این ترتیب زمینه‌ی مناسبی برای مطالعاتی در آینده به وجود آمده است که با هدف شبیه‌سازی شرایط هیپوکسی و پیگیری سلول‌ها در شرایط *In vitro* و *In vivo* طراحی شده باشند.

5- منابع

- [1] Pittenger MF, M.A., Beck SC, Jaiswal RK, Douglas R, Mosca JD, et al., (1999) Multilineage potential of adult human mesenchymal stem cells. *Science* (Wash DC).284, 143-7.
- [2] Pittenger MF, M.B., (2004) Mesenchymal stem cells and their potential as cardiac therapeutics. *Circ Res*.95, 9-20.

را با توجه به نور فلورسانس به دست آمده از GFP، از دیگر سلول‌ها نشخیص داده و پیگیری کرد. انتقال ژن با استفاده از ویروس‌ها در مقایسه با سایر روش‌های انتقال ژن، سریع‌تر و ارزان‌تر است. ویروس‌ها این توانایی را دارند که ژن هدف را به طور پایدار به داخل ژنوم سلول‌های در حال تقسیم و سلول‌های غیرتقسیم‌شونده انتقال دهند. ویروس‌ها به طور گسترشده برای واردکردن cDNA به داخل سلول‌ها در محیط کشت، استفاده می‌شوند [27]. برای نمونه، نتایج به دست آمده از مطالعه‌ی مشابهی که برای انتقال ژن آلفا-1 آنتی‌تریپسین انجام شد، نشان‌دهنده‌ی بیان سریع و پایدار این ژن در سلول‌های کبدی تمایزیافته از سلول‌های بنیادی مزانشیمی با استفاده از لنتی‌ویروس‌های نوترکیب بود [28]. در این بررسی نیز بیان ژن HIF-1 α با استفاده از این ویروس‌ها در سلول‌های بنیادی مزانشیمی با موفقیت افزایش داده شد و نشان داد که وکتورهای لنتی‌ویروسی می‌توانند برای کاربرد در ژن‌درمانی به عنوان ابزاری مناسب در نظر گرفته شوند. مشکل اصلی این نوع وکتورها، ورود تصادفی آن‌ها به داخل ژنوم است که امکان دارد منجر به قطع کردن توالی‌های ژنومی، ایجاد جهش و یا بیان متغیر ژن شود [29]. این مشکل می‌تواند در آینده با اصلاحاتی در این وکتورها حل شود. با انتقال موفقیت‌آمیز ژن HIF-1 α ، سلول‌هایی به دست آمد که تنظیم‌کننده‌ی اصلی در پیش‌آماده‌سازی (HIF-1 α) را بیان می‌کنند. با استفاده از نتایج این پژوهش می‌توان سلول‌هایی را در مطالعات آینده بررسی کرد که شرایط شبیه‌سازی شده‌ی پیش‌آماده‌سازی از نظر بیان HIF-1 α در آن‌ها ایجاد شده است.

در سلول‌درمانی بسیج سلول‌های تزریق شده به بافت هدف و سازوکار آن بسیار مورد توجه است. سازوکارهای

- [8] Gnechi M, H.H., Liang OD, Melo LG, Morello F, Mu H, et al., (2005) Paracrine action accounts for marked protection of ischemic heart by akt-modified mesenchymal stem cells. *Nat Med.*11, 367-8.
- [9] Gnechi M, H.H., Noiseux N, Liang OD, Zhang L, Morello F, et al., (2006) Evidence supporting paracrine hypothesis for akt-modified mesenchymal stem cell-mediated cardiac protection and functional improvement. *FASEB J.*20, 661-9.
- [10] Urbinati F, L.F., Facchini G ,Montanari M, Ferrari G, Mavilio F, et al., (2005) Competitive engraftment of hematopoietic stem cells genetically modified with a truncated erythropoietin receptor. *Hum Gene Ther.*16, 594-608.
- [11] Azarnoush K, M.A., Sebbah L, Carrion C, Bissery A, Mandet C, et al., (2005) Enhancement of the functional benefits of skeletal myoblast transplantation by means of coadministration of hypoxia-inducible factor 1alpha. *J Thorac Cardiovasc Surg.*130, 173-9.
- [12] Gross, E.R., and Gross, G. J., (2007) Ischemic Preconditioning And Myocardial Infarction: An Update and Perspective. *Drug Discov. Today Dis. Mech.*4, 165-174.
- [3] Gerdoni E, G.B., Casazza S, Musio S, Bonanni I, Pedemonte E, et al., (2007) Mesenchymal stem cells effectively modulate pathogenic immune response in experimental autoimmune encephalomyelitis. *Ann Neurol.* 61, 219-27.
- [4] Krampera M, G.S., Dyson J, Scott D, Taylor R, Simpson E, et al. , (2003) Bone marrow mesenchymal stem cells inhibit the response of naive and memory antigen-specific t cells to their cognate peptide. *Blood.*101, 3722-9.
- [5] Rossignol J, B.C., Thinard R, Remy S, Dugast AS, Dubayle D, et al., (2009) Mesenchymal stem cells induce a weak immune response in the rat striatum after allo or xenotransplantatio. *J Cell Mol Med.*
- [6] Menabde G, G.K., Kakabadze Z, Berishvili E., (2009) Bone marrow-derived mesenchymal stem cell plasticity and their application perspectives. *Georgian Med News* 167, 71-6.
- [7] Karen M. Peterson, A.A., Amir Lerman, Lilach O. Lerman, Martin Rodriguez-Porcel, (2011) Improved survival of mesenchymal stromal cell after hypoxia preconditioning :Role of oxidative stress. *Life Sciences.*88, 65-73.

- marrow stromal cell line. *J Cell Biochem.* 1, 158-169.
- [19] Rawadi GB, V.F., Baron DB, Roman SR, (2003) BMP2 controls alkaline phosphatase expression and osteoblast mineralization by a Wnt autocrine loop. *J Bone Miner Res.* 18, 1842- 1853.
- [20] Al, C., (2007) Adult mesenchymal stem cells for tissue engineering versus regenerative medicine. *J Cell Physiol.* 213, 341-7.
- [21] Minguell JJ, C.P., Erices A, (2000) Biology and clinical utilization of mesenchymal progenitor cells. *Braz J Med Biol Res.* 33, 881-7.
- [22] Carlo-Stella C, G.M., (2005) Biology and clinical applications of marrow mesenchymal stem cells. *Pathol Biol.* 53, 162-4.
- [23] Murrell W, W.A., Donnellan M, Feron F, Burne T, Meedeniya A, (2008) Olfactory mucosa is a potential source for autologous stem cell therapy for Parkinson's disease. *Stem Cells.* 26, 2183- 92.
- [24] Pittenger MF, M.A., Beck SC et al., (1999) Multilineage potential of adult human mesenchymal stem cells. *Science (Wash DC).* 284, 143-146.
- [13] Hausenloy, D.J., and Yellon, D. M., (2006) Survival kinases in ischemic preconditioning and postconditioning. *Cardiovasc. Res.* 70, 240-253.
- [14] Yuan ,G., Adhikary, G., McCormick, A. A., Holcroft, J. J., Kumar, G. K., and Prabhakar, N. R., (2004) Role of oxidative stress in intermittent hypoxia-induced immediate early gene activation in rat PC12 cells. *J. Physiol.* 557, 773-783.
- [15] Short B, B.N., Occhiodoro-Scott T, Ramakrishnan A, Simon PJ, (2003) Mesenchymal stem cells. *Arch Med Res.* 34, 565-571.
- [16] Chen ML, L.K., Huang HC, Tsai YL, Wu YC, Kuo TM, Hu CP, Chang C, (2010) HNF-4 α determines hepatic differentiation of human mesenchymal stem cells from bone marrow. *World J Gasteroentro.* 16, 5092-103.
- [17] Atmani H, C.D., Basle MF, (2003) Proliferation and differentiation of osteoblasts and adipocytes in rat bone marrow stromal cell cultures: effects of dexamethasone and calcitriol. *J Cell Biochem.* 2, 364-372.
- [18] Allan EH, H.P., Umezawa A, Hata J, Makishima F, Gillespie MT, (2003) Differentiation potential of a mouse bone

- HIF-1alpha in human salivary gland cancer cells. *Oral Oncol.* 42, 593-598.
- [31] Ivana Rosová, M.D., Ben Capoccia, Daniel Link, and Jan A. Nolta, (2008) Hypoxic Preconditioning Results in Increased Motility and Improved Therapeutic Potential of Human Mesenchymal Stem Cells. *Stem Cells.* 26, 2173–2182.
- [32] Melania Tesio, K.G., Simona Corso, Silvia Giordano, Amir Schajnovitz, Yaron Vagima, Shoham Shivtiel, Alexander Kalinkovich, Luisa Caione, Loretta Gammautoni, Elisa Laurenti, Eike C.Buss, Elias Shezen, Tomer Itkin, Orit Kollet, Isabelle Petit, Andreas Trumpp, James Christensen, Massimo Aglietta, Wanda Piacibello and Tsvee Lapidot, (2011) Enhanced c-Met activity promotes G-CSF-induced mobilization of hematopoietic progenitor cells via ROS signaling. *Blood.* 117, 419-428.
- [33] Takashi Iwasea, N.N., Takafumi Fujii, Takefumi Itoh, Shinsuke Murakami, Toshio Matsumoto, Kenji Kangawa, Soichiro Kitamura, (2005) Comparison of angiogenic potency between mesenchymal stem cells and mononuclear cells in a rat model of hindlimb ischemia. *Cardiovascular Research.* 66, 543- 551.
- [25] Sabine Neuss, E.B., Michael Woltje, Lothar Tietze, Willi Jähnen-Dechent, (2004) Functional Expression of HGF and HGF Receptor/c-met in Adult Human Mesenchymal Stem Cells Suggests a Role in Cell Mobilization, Tissue Repair, and Wound Healing. *Stem Cells.* 22, 405-414.
- [26] Weber, K., et al., (2008) A Multicolor Panel of Novel Lentiviral “Gene Ontology” (LeGO) Vectors for Functional Gene Analysis. *The American Society of Gene Therapy.*
- [27] Berns, K.I., Flotte, T.R., Mahy, B.W.J., van Regenmortel, M.H.V., (2008) Gene therapy: use of viruses as vectors. *Encyclopedia of Virology*, Academic Press, Oxford.301-306.
- [28] Mahboobe Ghaedi, A.S.L., Masoud Soleimani, (2010) Establishment of lentiviral-vector-mediated model of human alpha-1 antitrypsin delivery into hepatocyte-like cells differentiated from mesenchymal stem cells. *Tissue and Cell.* 42, 181–189.
- [29] Pfeifer, A., Verma, I.M., (2001) Gene therapy: promises and problems. *Annu. Rev. Genomics Hum. Genet.* .2. 211-177 ,
- [30] Hara S, N.K., Klosek SK, et al., (2006) Hypoxia enhances c-Met/HGF receptor expression and signaling by activating

- [35] Zentilin, L., Tafuro, S., Zacchigna, S., Arsic, N., Patarini, L., Sinigaglia, M., Giacca, M., (2006) Bone marrow mononuclear cells are recruited to the sites of VEGF-induced neovascularization but are not incorporated into the newly formed vessels. *Blood.* 107, 3546-54.
- [34] Vien Khach Lai, M.R.A., Muhammad Ashraf, Shujia Jiang, Husnain Kh Haider, (2012) Non-hypoxic stabilization of HIF-1 α during coordinated interaction between Akt and angiopoietin-1 enhances endothelial commitment of bone marrow stem cells. *J Mol Med.* 1-12.